

ГАЛЬВАНОМАГНИТНЫЕ СВОЙСТВА ПОЛУМАГНИТНЫХ ПОЛУПРОВОДНИКОВ $Hg_{1-x}Mn_xTe_{1-y}Se_y$

B. A. Кульбачинский, И. А. Чурилов, П. Д. Марьянчук, Р. А. Лунин

*Московский государственный университет им. М. В. Ломоносова
119899, Москва, Россия*

Поступила в редакцию 2 апреля 1997 г.

Исследованы гальваномагнитные свойства монокристаллов полумагнитного полупроводника $Hg_{1-x}Mn_xTe_{1-y}Se_y$ с $0.01 < y < 0.1$ и $x = 0.05, 0.14$ в интервале температур 4.2–300 К. Особенности зависимостей коэффициента Холла R_H от температуры и сложное поведение R_H в магнитном поле объясняются количественно существованием трех групп носителей тока — электронов и двух типов дырок, для которых получены температурные зависимости концентраций и подвижностей. Наблюдается переход от p -типа проводимости к n -типу с увеличением содержания Se, и одновременно отрицательное магнитосопротивление сменяется положительным.

1. ВВЕДЕНИЕ

Полумагнитные полупроводники, или разбавленные магнитные полупроводники, представляют собой твердые растворы, в которых одна из компонент замещается на атом переходного элемента M с некомпенсированным магнитным моментом. Среди соединений $A_{1-x}^{II}M_xB^{VI}$ (A^{II} , B^{VI} — элементы II и VI групп соответственно, M — металл) полумагнитные полупроводники типа $Hg_{1-x}Mn_xTe$, $Hg_{1-x}Mn_xSe$ относительно хорошо изучены [1–3]. Установлено, что $Hg_{1-x}Mn_xTe$ имеет проводимость p -типа [4], а $Hg_{1-x}Mn_xSe$ всегда имеет проводимость n -типа с высокой концентрацией электронов [5]. Тип проводимости связан с возникающими в кристаллах заряженными дефектами: в $Hg_{1-x}Mn_xTe$ акцепторными дефектами являются вакансии в подрешетке ртути, в $Hg_{1-x}Mn_xSe$ донорными являются атомы ртути в междуузлиях и вакансии в подрешетке селена. Представляло интерес исследовать полумагнитные полупроводники $Hg_{1-x}Mn_xTe_{1-y}Se_y$. Можно предположить, что при изменении концентрации селена произойдет своеобразная компенсация различных дефектов, что даст возможность регулировать тип проводимости и концентрацию носителей тока в четверном соединении. Гальваномагнитные свойства $Hg_{1-x}Mn_xTe_{1-y}Se_y$ в зависимости от содержания Mn изучались ранее в работах [6–8], кроме этого исследовались переходы в состояние спинового стекла [7, 8].

В настоящей работе исследуются гальваномагнитные свойства (в интервале температур 4.2–300 К) монокристаллов твердых растворов $Hg_{1-x}Mn_xTe_{1-y}Se_y$ с $x = 0.05$ и 0.14 при изменении концентрации селена от $y = 0.01$ до $y = 0.10$.

2. ОБРАЗЦЫ

Монокристаллы $Hg_{1-x}Mn_xTe_{1-y}Se_y$ выращивались методом Бриджмена из химически чистых компонентов. Для измерений из слитков электроэррозионным методом вырезались образцы с характерными размерами $0.6 \times 0.6 \times 5$ мм³. Содержание марганца уточнялось с помощью рентгеновского микропроявления и по измерениям абсолютной величины магнитной восприимчивости при комнатной температуре, которые в пределах ошибки измерений дали одинаковые результаты. Содержание Se в образцах указано по этим данным. В результате рентгеновского микропроявления и магнитных измерений установлено отсутствие в образцах включений других фаз и их гомогенность. Однородность образцов контролировалась также по измерениям коэффициента Холла R_H по длине образцов. (Разница значений R_H не превышала нескольких процентов, что свидетельствует о высокой однородности исследуемых образцов.)

Электрические измерения проводились на свежепротравленных образцах на постоянном токе четырехконтактным методом. Исследовались образцы $Hg_{1-x}Mn_xTe_{1-y}Se_y$ с $x = 0.05, 0.14$ и $y = 0.01, 0.05, 0.075, 0.10$. Некоторые параметры исследованных монокристаллов при $T = 4.2$ К приведены в табл. 1 и 2. В таблицах n , p_1 , p_2 — концентрации электронов и дырок соответственно, μ_e , μ_{p1} , μ_{p2} — подвижности электронов и дырок, y — концентрация Se в образцах.

Известно, что на электрические и гальваномагнитные свойства полупроводниковых твердых растворов на основе теллурида ртути существенное влияние оказывает приповерхностная область [9]. С целью исключения этого эффекта образцы непосредственно перед измерением протравливались. Специальные исследования показали, что выдержка протравленных образцов на воздухе в течение нескольких дней не изменяет их электрофизические свойства, в частности сложное поведение коэффициента Холла в магнитном поле при разных температурах, т. е. приповерхностная область не влияет на полученные результаты.

Таблица 1
Параметры исследованных образцов $Hg_{0.86}Mn_{0.14}Te_{1-y}Se_y$ при 4.2 К

N	y	n , 10^{14} см ⁻³	μ_e , 10^4 см ² /В·с	p_1 , 10^{17} см ⁻³	μ_{p1} , см ² /В·с	p_2 , 10^{15} см ⁻³	μ_{p2} см ² /В·с
1	0.01	0.3	-6.0	2.7	820	9.0	3000
2	0.05	0.003	-6.0	0.9	130	0.46	4800
3	0.075	2.5	-3.0	7.8	850	25.0	5300
4	0.10	1.1	-1.2	42.0	60	0.52	4100

Таблица 2
Параметры исследованных образцов $Hg_{0.95}Mn_{0.05}Te_{1-y}Se_y$ при 4.2 К

N	y	n , 10^{14} см ⁻³	μ_e , 10^4 см ² /В·с	p_1 , 10^{17} см ⁻³	μ_{p1} , см ² /В·с	p_2 , 10^{15} см ⁻³	μ_{p2} см ² /В·с
1	0.01	5.3	-1.5	2.8	715	7.2	2000
2	0.10	72.0	-0.56	8.2	80	4.8	5700

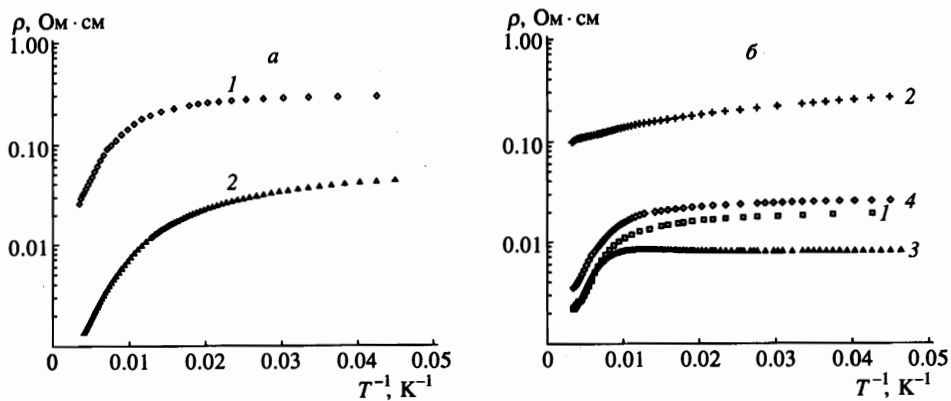


Рис. 1. Зависимости сопротивления от обратной температуры образцов $\text{Hg}_{1-x}\text{Mn}_x\text{Te}_{1-y}\text{Se}_y$ с различным содержанием Mn и Se: *а* — $x = 0.05$, $1 — y = 0.01$, $2 — y = 0.10$; *б* — $x = 0.14$, $1 — y = 0.01$, $2 — y = 0.05$, $3 — y = 0.075$, $4 — y = 0.10$

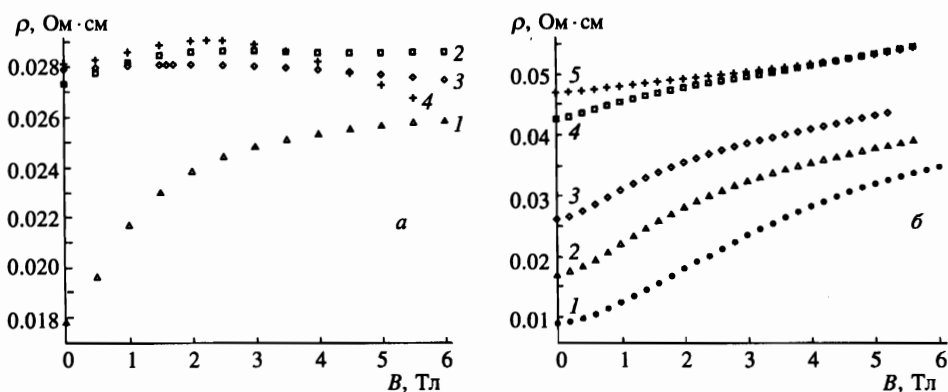


Рис. 2. Зависимость сопротивления от магнитного поля у образца $\text{Hg}_{0.95}\text{Mn}_{0.05}\text{Te}_{1-y}\text{Se}_y$ с $y = 0.01$ (*а*) и $y = 0.10$ (*б*) при разных температурах T , К: *а*) $1 — 83$, $2 — 40$, $3 — 16$, $4 — 4.2$; *б*) $1 — 88$, $2 — 61$, $3 — 42$, $4 — 21$, $5 — 4.2$

3. РЕЗУЛЬТАТЫ ИЗМЕРЕНИЙ ГАЛЬВАНОМАГНИТНЫХ СВОЙСТВ И ИХ ОБСУЖДЕНИЕ

При понижении температуры сопротивление всех образцов возрастает, демонстрируя активационное поведение с энергией активации около 30 мэВ при температурах выше ≈ 100 К (рис. 1). В образцах с минимальным содержанием селена при температурах ниже $T = 30$ К проявляется отрицательное магнитосопротивление, тем большее, чем ниже температура. При увеличении содержания селена отрицательное магнитосопротивление уменьшается и при концентрации Se $y = 0.10$ даже при температурах жидкого гелия магнитосопротивление становится положительным. В качестве примера на рис. 2 приведена зависимость сопротивления $\rho(B)$ для образца $\text{Hg}_{0.95}\text{Mn}_{0.05}\text{Te}_{1-y}\text{Se}_y$ с $y = 0.01$ (рис. 2*а*) и $y = 0.10$ (рис. 2*б*). На рис. 3 приведено относительное изменение сопротивления $[\rho(B) - \rho(0)]/\rho(0)$ в магнитном поле B для пяти исследованных образцов. Отрицательное магнитосопротивление в больших магнитных полях можно объяснить

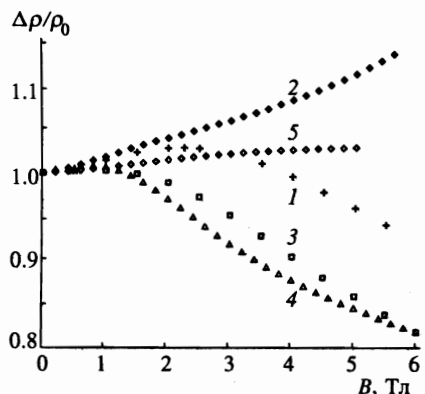


Рис. 3. Относительное магнитосопротивление при $T = 4.2$ К у образцов $\text{Hg}_{1-x}\text{Mn}_x\text{Te}_{1-y}\text{Se}_y$ с различным составом: 1 — $x = 0.05$, $y = 0.01$; 2 — $x = 0.05$, $y = 0.1$; 3 — $x = 0.14$, $y = 0.01$; 4 — $x = 0.14$, $y = 0.075$; 5 — $x = 0.14$, $y = 0.10$

увеличением проводимости по примесной зоне, характерной для $\text{Hg}_{1-x}\text{Mn}_x\text{Te}$ [1–3], в связи с перекрытием волновых функций акцепторов в магнитном поле, т. е. так называемым магнитным вскипанием дырок [10–14]. С увеличением концентрации Se роль проводимости по акцепторной примесной зоне уменьшается, образцы даже изменяют тип проводимости от p к n , поэтому отрицательное магнитосопротивление сменяется положительным.

3.1. Определение подвижностей различных групп носителей тока по эффекту Холла

Наиболее сложно поведение коэффициента Холла R_H при разных температурах в зависимости от магнитного поля (рис. 4). У образца $\text{Hg}_{0.86}\text{Mn}_{0.14}\text{Te}_{1-y}\text{Se}_y$ с прямой запрещенной зоной при 4.2 К коэффициент Холла положителен, $R_H > 0$ (см. рис. 4а, б). При увеличении температуры знак R_H в слабых полях изменяется на отрицательный. Увеличение концентрации селена приводит к росту электронной концентрации и к смене знака коэффициента Холла в слабых магнитных полях. Этот эффект проявляется сильнее у бесщелевых образцов. В качестве примера на рис. 4в, г приведены зависимости R_H от магнитного поля при разных температурах для образцов $\text{Hg}_{0.95}\text{Mn}_{0.05}\text{Te}_{1-y}\text{Se}_y$ с $y = 0.01$ (в) и $y = 0.10$ (г).

Количественно удалось удовлетворительно описать приведенные на рис. 4 зависимости $R_H(B)$ лишь при учете трех типов носителей: зонных электронов и двух типов дырок с различными концентрациями и подвижностями, одни из которых являются собственными, а другие соответствуют примесной акцепторной зоне [7, 8]. Коэффициент Холла при этом зависит от магнитного поля (при холл-факторе для всех групп равном единице) следующим образом:

$$R_H(B) = N(A^2 + N^2 B^2)^{-1}, \quad (1)$$

где введены обозначения

$$N = \frac{en\mu_e^2}{1 + \mu_e^2 B^2} + \frac{ep_1\mu_{p1}^2}{1 + \mu_{p1}^2 B^2} + \frac{ep_2\mu_{p2}^2}{1 + \mu_{p2}^2 B^2}, \quad (2)$$

$$A = \frac{en\mu_e}{1 + \mu_e^2 B^2} + \frac{ep_1\mu_{p1}}{1 + \mu_{p1}^2 B^2} + \frac{ep_2\mu_{p2}}{1 + \mu_{p2}^2 B^2}. \quad (3)$$

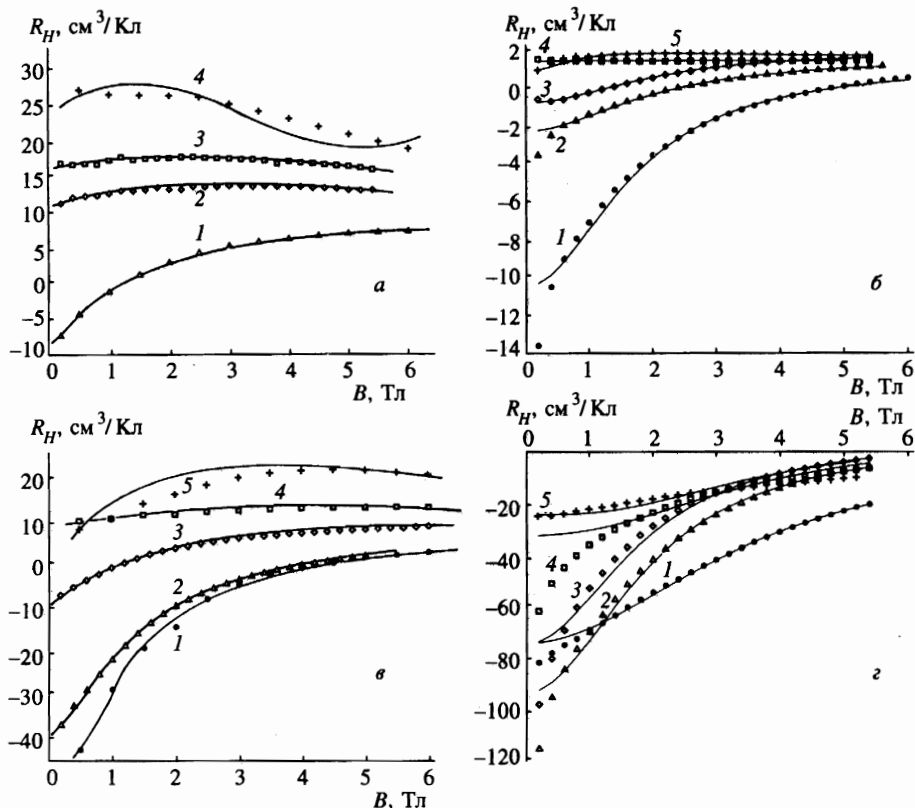


Рис. 4. Зависимости коэффициента Холла от магнитного поля образцов $\text{Hg}_{1-x}\text{Mn}_x\text{Te}_{1-y}\text{Se}_y$ с $x = 0.14$ и $y = 0.01$ (а); $x = 0.14$ и $y = 0.10$ (б); $x = 0.05$ и $y = 0.01$ (в); $x = 0.05$ и $y = 0.10$ (г) при разных температурах T , К: а) 1—42, 2—17, 3—8.5, 4—4.2; б) 1—79, 2—53, 3—42, 4—21, 5—4.2; в) 1—81, 2—59, 3—36, 4—15, 5—4.2; г) 1—95, 2—61, 3—39, 4—20, 5—4.2. Точки — данные эксперимента, линии — расчет при трех типах носителей по формуле (1) (см. текст)

На рис. 4 линии соответствуют рассчитанным зависимостям $R_H(B)$ при учете указанных трех групп носителей. В табл. 1 и 2 приведены концентрации и подвижности электронов и дырок при температуре 4.2 К, полученные из подгонки зависимостей $R_H(B)$. Подгонка экспериментальных зависимостей $R_H(B)$ при разных температурах позволила определить подвижности и концентрации для трех групп носителей тока, которые приведены в табл. 1–3. Все подвижности с увеличением температуры уменьшаются. Наиболее высоки значения электронной подвижности, что характерно для $\text{Hg}_{1-x}\text{Mn}_x\text{Te}$. При этом концентрация электронов возрастает с увеличением содержания селена в образцах вплоть до смены типа проводимости с p на n (образцы с $x = 0.05$). Подвижности с понижением температуры во всех трех группах увеличиваются, в то время как концентрации носителей тока уменьшаются.

3.2. Определение подвижностей различных групп носителей тока из положительного магнитосопротивления

Для нахождения подвижностей различных групп носителей тока в исследуемых образцах нами также был использован классический эффект магнитосопротивления. В работе [15] предложен метод, который преобразует зависимости сопротивления от магнитного поля в так называемый спектр подвижности, который дает максимальную проводимость как функцию подвижности. В этом методе принимается, что концентрация носителей тока n является непрерывной функцией $n(\mu)$ их подвижности μ , так что поперечные элементы тензора проводимости могут быть записаны в виде интеграла, суммирующего вклады в проводимость от каждой группы носителей:

$$\sigma_{xx}(B) = \int_{-\infty}^{\infty} \frac{s(\mu)d\mu}{1 + (\mu B)^2}, \quad \sigma_{xy}(B) = \int_{-\infty}^{\infty} \frac{s(\mu)\mu Bd\mu}{1 + (\mu B)^2}, \quad (4)$$

где $s(\mu)d\mu = en(\mu)d\mu$ — вклад в проводимость при $B = 0$ от носителей, имеющих подвижность от μ до $\mu + d\mu$. В этих уравнениях принимается, что электроны имеют отрицательную подвижность, а дырки — положительную. В случае, когда имеются N типов носителей тока с дискретными концентрациями n_i и подвижностями μ_i ($i = 1, \dots, N$), в спектре подвижности появляется N пиков, центры которых находятся в μ_i , а амплитуды равны $en_i\mu_i$. Метод спектра подвижности применим, если: 1) отсутствует квантование энергетического спектра в магнитном поле [16], т. е. магнитные поля слабые; 2) магнитное поле не изгибает существенно траекторию носителей тока в области взаимодействия их с рассеивающими центрами (вакансиями в подрешетке ртути, атомами ртути в междоузлиях, вакансиями в подрешетке селена и пр.).

Значения положительного магнитосопротивления в интервале от 0.2 Тл до 5 Тл для различных образцов были преобразованы в спектры подвижности. На рис. 5 приведен спектр подвижности для образца $Hg_{0.86}Mn_{0.14}Te_{0.90}Se_{0.10}$ при температуре 79 К. На этом рисунке видно, что существуют три группы носителей тока с разными подвижностями: две группы дырок и электроны. Полученные из спектров подвижности значения подвижностей хорошо совпадают с рассчитанными по магнитополевым зависимостям коэффициента Холла во всех образцах. Концентрации и подвижности электронов, определенные из максимумов в спектре подвижности, приведены в табл. 3.

Таблица 3
Подвижности носителей тока у образцов $Hg_{1-x}Mn_xTe_{1-y}Se_y$, определенные по спектрам подвижности (колонка 1) и из измерений коэффициента Холла (колонка 2) при различных температурах

Образец	T, K	$\mu_e, \text{см}^2/\text{В}\cdot\text{с}$		$\mu_{p1}, \text{см}^2/\text{В}\cdot\text{с}$		$\mu_{p2}, \text{см}^2/\text{В}\cdot\text{с}$	
		1	2	1	2	1	2
$Hg_{0.86}Mn_{0.14}Te_{0.90}Se_{0.10}$	79	-5700	-6500	70	60	2400	-
$Hg_{0.86}Mn_{0.14}Te_{0.90}Se_{0.10}$	42	-6600	-5000	75	50	-	800
$Hg_{0.86}Mn_{0.14}Te_{0.90}Se_{0.10}$	4.2	-10000	-12000	50	60	3100	4100
$Hg_{0.95}Mn_{0.05}Te_{0.90}Se_{0.10}$	4.2	-4500	-5700	60	80	3400	5700

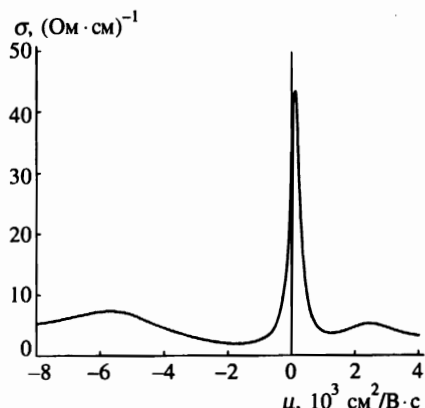


Рис. 5. Спектр подвижности при температуре 79 К образца $Hg_{0.86}Mn_{0.14}Te_{0.90}Se_{0.10}$ — три максимума соответствуют трем группам носителей тока (для электронов подвижность отрицательна)

4. ЗАКЛЮЧЕНИЕ

Таким образом, в полумагнитном полупроводнике $Hg_{1-x}Mn_xTe_{1-y}Se_y$ транспортные свойства, инверсия знака коэффициента Холла при увеличении температуры и его сложное поведение в магнитном поле определяются как электронами, так и двумя группами дырок. При увеличении содержания селена концентрация электронов возрастает и тип проводимости меняется от p к n . При 4.2 К у образцов $Hg_{1-x}Mn_xTe_{1-y}Se_y$ с $y < 0.1$ наблюдается отрицательное магнитосопротивление, связанное с изменением перекрытия волновых функций акцепторов в магнитном поле, при большем содержании Se переходящее в положительное. Для трех групп носителей тока — электронов и двух типов дырок — получены температурные зависимости подвижностей и концентраций в зависимости от содержания селена.

Литература

1. J. K. Furdyna. *J. Appl. Phys.* **64**, R29 (1988).
2. N. B. Brandt and V. V. Moshchalkov, *Adv. Phys.* **33**, 194 (1984).
3. И. И. Ляпилин, И. М. Цидильковский, УФН **146**, 35 (1985).
4. Н. Б. Брандт, В. В. Мошалков, А. О. Орлов и др., ЖЭТФ **84**, 1059 (1983).
5. Ж. Т. Исмаилов, В. А. Кульбачинский, С. М. Чудинов и др., ФТП **22**, 375 (1988).
6. К. Р. Крылов, Н. К. Леринман, А. И. Пономарев и др., ФТП **28**, 1382 (1994).
7. В. А. Кульбачинский, П. Д. Марьянчук, И. А. Чурилов, ФТП **29**, 2007 (1995).
8. V. A. Kulbachinskii, P. D. Maryanchuk, I. A. Churilov et al., *Semicond. Sci. Technol.* **10**, 463 (1995).
9. V. I. Ivanov-Omskii, N. N. Berchenko, and A. I. Elizarov, *Phys. Stat. Sol. (a)* **103**, 11 (1987).
10. J. Mycielski, in *Recent Development in Condensed Matter Physics*, ed. by J. T. DeVreese (Plenum, New York, 1981), Vol. 1, p. 725.
11. L. R. Gawron and J. Trylski, in *Lecture Notes in Physics 152. Physics of Narrow Gap Semiconductors. Proc. of the Lintz Conf.*, 1981, ed. by E. Gornik, H. Heinrich, and L. Palmethofer, Springer, Berlin (1982), p. 294.
12. A. Mycielski and J. Mycielski, *J. Phys. Soc. Jap. Suppl. A* **49**, 807 (1980).
13. W. B. Johnson, J. R. Anderson, and D. R. Stone, *Phys. Rev. B* **29**, 6679 (1984).
14. A. B. Davydov, B. B. Ponikarov, and I. M. Tsidilkovskii, *Phys. Stat. Sol. (b)* **101**, 127 (1980).
15. W. A. Beck and J. R. Anderson, *J. Appl. Phys.* **62**, 541 (1987).
16. I. A. Panaev, S. A. Studenikin, D. I. Lubyshev, and V. P. Migal, *Semicond. Sci. Technol.* **8**, 1822 (1993).